



**NVWOA**

Nederlandse Vereniging tot Wetenschappelijk Onderzoek  
naar de Astrologie

**Nieuwsbrief juli 2021,  
jaargang 26 nr. 7**

## **Inhoudsopgave**

Aankondiging symposium: 50 jaar NVWOA.....	1
Agenda.....	3
De Beweging van de Gecorrigeerde Zwarte Maan in de Zodiak.....	4
Voortgang onderzoek naar explosies.....	10
Astronomische artefacten.....	18
Uit de ASAScoop 2 / 2020.....	21
Uit the Astrological Journal March/April 2021 Volume 63 No.2.....	23
Gratis downloaden: Astrology in education: an ethnography door Alison Gwendy Bird.....	27
Colofon.....	28

## **Aankondiging symposium: 50 jaar NVWOA**

Beste leden en belangstellenden,

Op **zaterdag 16 oktober 2021** organiseren wij als vereniging weer ons  
tweejaarlijkse symposium in Zwolle.

Het thema van dit symposium: **50 jaar NVWOA.**

De NVWOA is opgericht in Amersfoort op 3 juni 1971 om 21:18 uur. Met één blik op de website is te zien wat voor een schat aan informatie dit tot op heden heeft opgeleverd.

De sprekers op het symposium:

- Albert Bredenhoff over 50 jaar NVWOA.
- Jan Kampherbeek over de mogelijke rol van automatisering in astrologisch onderzoek. Die mogelijkheden beperken zich niet tot het berekenen van horoscopen. Automatisering is prima in te zetten bij de organisatie van je onderzoek, zowel kwantitatief als kwalitatief.
- Frank Hoogerbeets over aardbevingen. Hij gaat in op specifieke planeetstanden rond de tijd van zwaardere (magnitude 6+) aardbevingen. Hij doet daar al jarenlang intensief onderzoek naar en doet op grond daarvan voorspellingen. Zijn onderzoek is niet vanuit de traditionele astrologie of enige andere vorm van astrologie en beperkt zich niet tot geocentrische posities. Om dit mogelijk te maken, heeft hij het computer-programma Solpage geschreven dat posities en samenstanden (conjuncties) berekent vanuit elk centrisch gezichtspunt. 'Mijn onderzoek is naar mijn mening een zeer waardevolle aanvulling op de reeds bestaande astrologie en werpt een nieuw licht op de invloed van planeten'.
- Robert Doolaard over pandemieën. Een recente publicatie van Barbault over het samengaan van pandemieën met perioden van samenstand van de langzame planeten, stimuleerde hem om een grondig vervolgonderzoek te doen waarbij ook belangwekkende overeenkomsten en een verschil met zijn eerdere onderzoek naar mega-oorlogen naar voren kwam.
- Vivian Muller-Laumans over suïcide. Wat valt op in de radix bij iemand die zichzelf heeft gedood? Het onderzoek betreft het bestuderen van de radix van 100 personen die zichzelf gedood hebben met vervolgens controlegroepen en twee herhalingsonderzoeken.

Als u belangstelling heeft, meldt u aan (maar betaal nog niet) en houdt zaterdag 16 oktober 2021 alvast vrij! De capaciteit van de ruimte in Zwolle is beperkt.

Mocht tegen die tijd onverhoopt blijken dat het symposium in verband met Corona niet door kan gaan, dan wordt het uitgesteld.

De toegangsprijs bedraagt prijs 25 euro voor leden en 35 euro voor niet leden. Deze prijzen zijn inclusief lunch en twee consumptiebonnen. Wij laten u weten wanneer u moet betalen. Aanmelding bij het secretariaat [bestuur@nvwoa.nl](mailto:bestuur@nvwoa.nl)

## Agenda

**Juni, juli en augustus: vakantieperiode.** De eerstvolgende bijeenkomst is **zaterdag 4 september**. De Nieuwsbrief zal wel elke maand verschijnen.

**Zaterdag 16 oktober 2021:** Symposium: 50 jaar NVWOA.

# De Beweging van de Gecorrigeerde Zwarte Maan in de Zodiak

Cees J. A. Jansen, 21 juni 2021

In een vorige publicatie van de auteur is een analytische uitdrukking, een formule, beschreven voor de positie van de gecorrigeerde Zwarte Maan t.o.v. de Zwarte Maan, volgens het model van Duval en Font. De beschreven formule is zeer nauwkeurig en heeft slechts een kleine afwijking van maximaal twee boogminuten t.o.v. de efemeriden. In deze publicatie wordt aandacht besteed aan de beweging van de gecorrigeerde Zwarte Maan in de Zodiak, met name de relatieve en absolute snelheid en versnelling.

## 1. Inleiding

De efemeriden van Duval en Font<sup>1</sup> vermelden onder meer de dagelijkse posities van de ongecorrigeerde en de gecorrigeerde zwarte manen in de zodiak. Echter, de snelheid van beide berekende punten is niet gegeven. De daggemiddelde snelheid van dergelijke astronomische factoren is vanzelfsprekend af te leiden van de dagelijkse posities door eenvoudigweg het verschil tussen twee opeenvolgende posities te nemen. Dit lukt nog redelijk voor de snelheid, maar, zoals verderop zal blijken, niet voor de versnelling. Je loopt nl. al snel tegen de rekenon-nauwkeurigheid en afronding van de posities in de efemeriden aan en verandering van positie per dag is gering. Beide nadelen zijn er niet indien er een wiskundige relatie is die de positie van een factor binnen zekere *nauwkeurigheid* weergeeft. In een vorige publicatie<sup>2</sup> van de auteur is een dergelijke relatie beschreven. De wiskundige formule legt een verband tussen de hoek in de zodiak tussen de zon en de ongecorrigeerde zwarte maan enerzijds en de correctiehoek op de ongecorrigeerde zwarte maan in de zodiak anderzijds. Aangezien de posities van de zon en de zwarte maan met de tijd variëren, is het een eenvoudige wiskundige exercitie om de snelheid en de versnelling te bepalen. Hiertoe dient de eerste en de tweede afgeleide naar de tijd bepaald te worden van de functie die de absolute positie van de gecorrigeerde zwarte maan in de zodiak beschrijft.

## 2. De bewegingsvergelijkingen van de gecorrigeerde Zwarte Maan

Vergelijking (3) uit ref. 2 voor de correctiehoek van de zwarte maan luidt:

$$\varphi_{cD} = 12,37 \times \sin [2(\varphi - 11,726 \times \sin(2\varphi))] + (8,8/60) \times \sin(6\varphi). \quad (1)$$

Hierin is  $\varphi$  de hoek tussen Zon en ongecorrigeerde Zwarte Maan in de Zodiak en  $\varphi_{cD}$  de correctiehoek in graden. We noteren gemakshalve  $\varphi_{cD} = F(\varphi)$ . Voorts worden de volgende definities gebruikt:

- $\varphi_S$  : de (lengte)positie in de zodiak van de zon ( $0^\circ \leq \varphi_S < 360^\circ$ ).
- $\varphi_{BM}$  : idem van de (ongecorrigeerde) zwarte maan.
- $\varphi_{cBM}$  : idem van de gecorrigeerde zwarte maan.
- $\nu_S$  : de snelheid in de zodiak in graden per dag van de zon.
- $\nu_{BM}$  : idem van de zwarte maan.
- $\nu_{cBM}$  : idem van de gecorrigeerde zwarte maan.
- $a_S$  : de versnelling in graden per (dag)<sup>2</sup> van de zon.
- $a_{BM}$  : idem van de zwarte maan.
- $a_{cBM}$  : Idem van de gecorrigeerde zwarte maan.

Alle negen grootheden, hoeken, snelheden en versnellingen zijn uiteraard functies van de tijd, dus schrijven we er soms (t) achter ter verduidelijking.

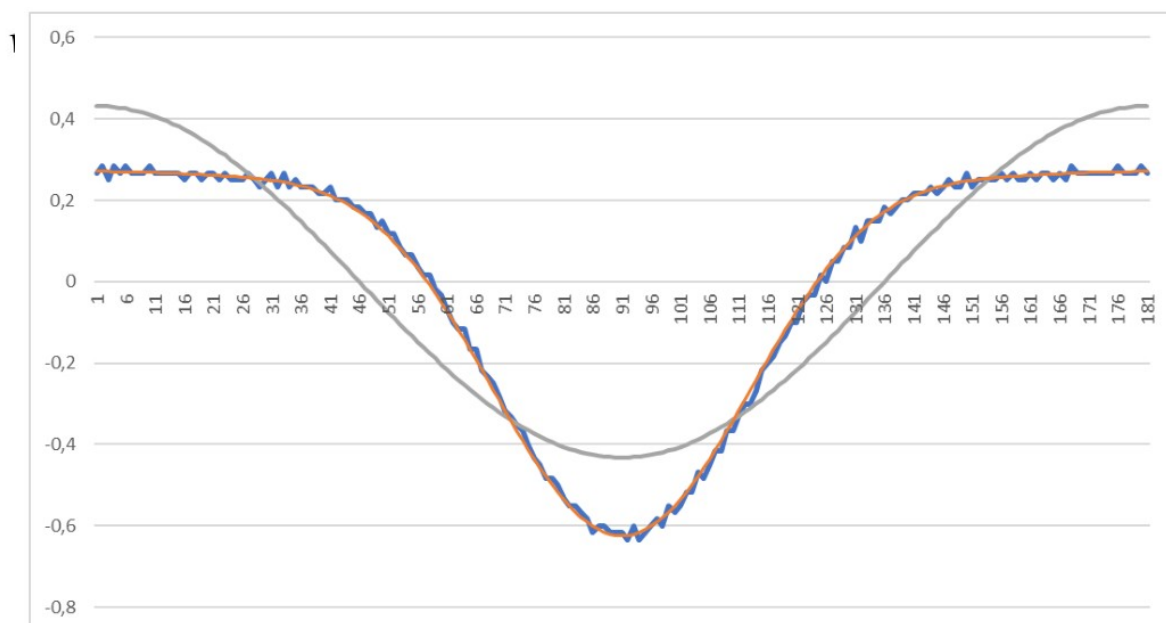
Merk op dat de absolute positie van de gecorrigeerde zwarte maan de som is van de positie van de ongecorrigeerde zwarte maan en de correctiehoek:

$$\varphi_{cBM} = \varphi_{BM} + F(\varphi), \text{ met } \varphi = \varphi_S - \varphi_{BM} \quad (2)$$

De vergelijking voor de snelheid van de gecorrigeerde zwarte maan wordt verkregen door vergelijking (2) naar de tijd te differentiëren:

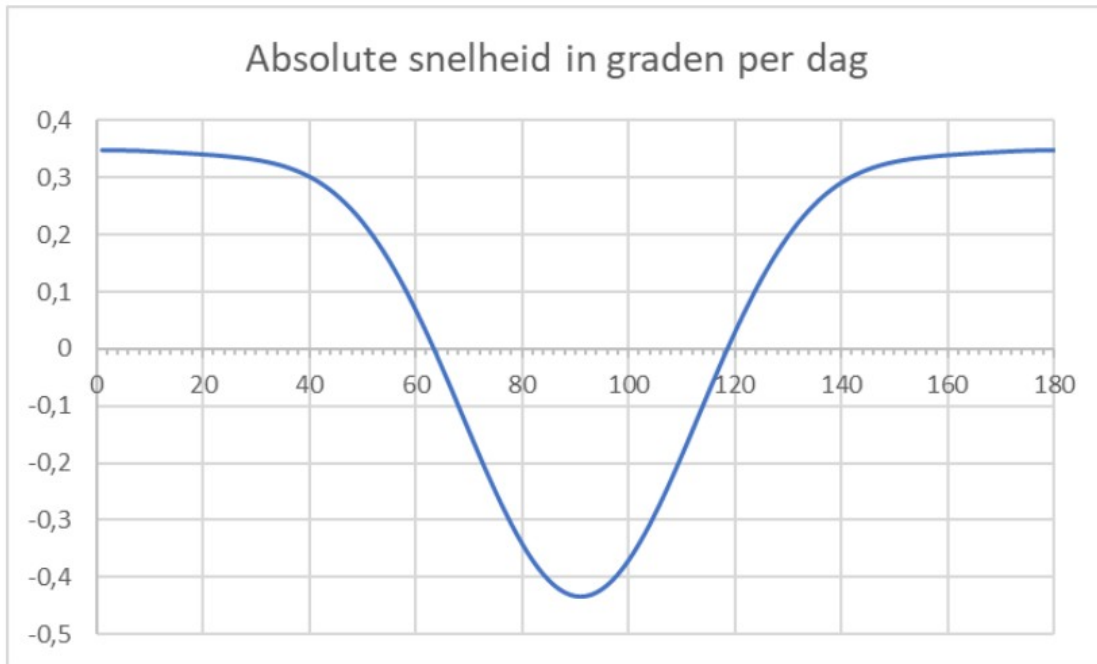
$$\begin{aligned}
 v_{\text{cBM}}(t) &= \frac{d}{dt} \varphi_{\text{cBM}}(t) = \frac{d}{dt} \varphi_{\text{BM}}(t) + \frac{d}{d\varphi} F(\varphi) \times \frac{d}{dt} (\varphi_{\text{S}}(t) - \varphi_{\text{BM}}(t)) \\
 &= v_{\text{BM}}(t) + \frac{d}{d\varphi} F(\varphi) \times (v_{\text{S}}(t) - v_{\text{BM}}(t)). \tag{3}
 \end{aligned}$$

In het vervolg nemen we de snelheden van zon en ongecorrigeerde zwarte maan als constant. De snelheid van de zon is dan  $360/365,25 = 0,985626$  graden ( $59^{\circ} 8' 25''$ ) per dag. De zwarte maan maakt een volledige ronde door de zodiak in 8 jaar, 10 maanden en 5,4 dagen, hetgeen neerkomt op een snelheid van  $0,111394$  graden ( $0^{\circ} 6' 41''$ ) per dag. Voor de relatieve snelheid t.o.v. de ongecorrigeerde zwarte maan volstaat de tweede term in vergelijking (3), in het bijzonder de afgeleide van de correctiehoekfunctie, die we in het vervolg noteren als  $F'(\varphi)$ . Deze dimensieloze functie  $F'(\varphi)$  is weergegeven in onderstaande grafiek. De details van de berekening van  $F'(\varphi)$  zijn hier weggelaten omwille van de leesbaarheid.



De oranje lijn geeft de analytisch bepaalde  $F'(\varphi)$  weer. De blauwe onregelmatige lijn is afgeleid uit de tabelwaarden van de eferiden van Duval en Font en illustreert de onnauwkeurigheid t.g.v. afrondingen. Ter vergelijking geeft de grijze lijn de cosinusfunctie weer op basis van Bode's model<sup>3</sup>.

De snelheid van de gecorrigeerde zwarte maan t.o.v. de ongecorrigeerde bedraagt maximaal  $0,2704$  maal het verschil van de snelheid van de zon en de snelheid van de ongecorrigeerde zwarte maan en minimaal  $-0,62388$  maal dat verschil. De absolute snelheid van de gecorrigeerde zwarte maan in de zodiak als functie van de hoek tussen zon en zwarte maan is weergegeven in de volgende grafiek.



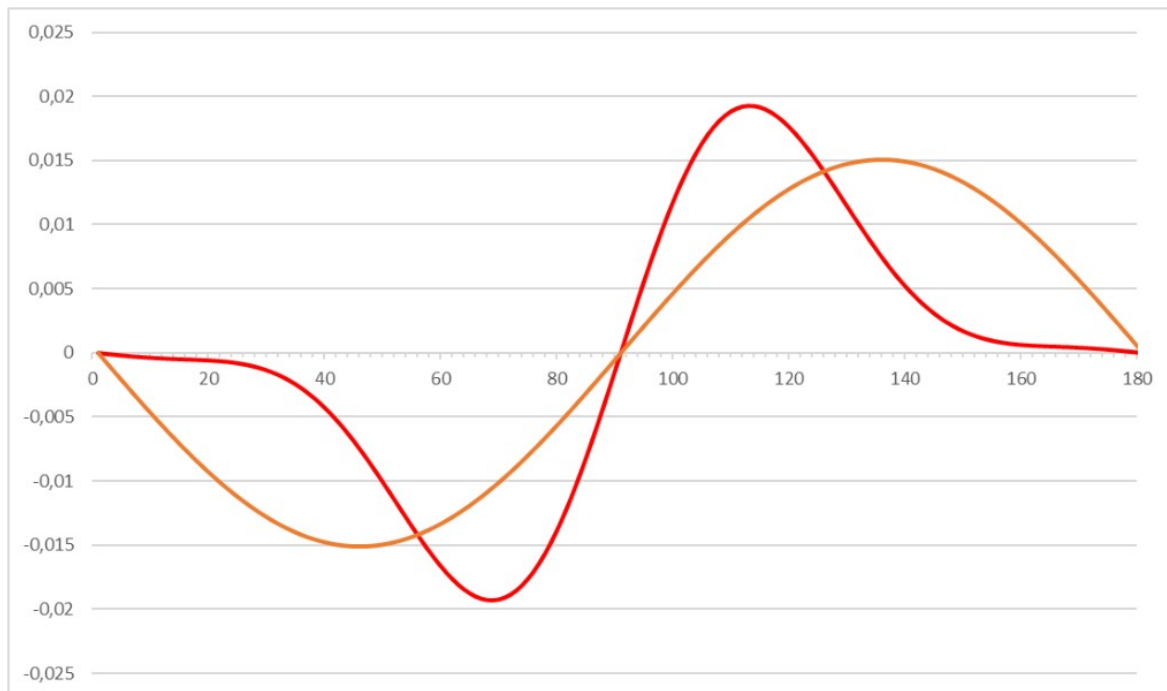
De grafiek laat een snelheid zien die maximaal 0,34780 graden ( $0^{\circ} 20' 52''$ ) per dag en bij retrogradegang minimaal  $-0,43402$  graden ( $-0^{\circ} 26' 2,5''$ ) per dag draagt. De werkelijke absolute snelheid kan iets groter of kleiner zijn dan de grafiek aangeeft vanwege een hogere of lagere snelheid van de zon. Duidelijk is ook de korte periode van retrogradegang. De periode van conjunctie tot oppositie tussen zon en zwarte maan duurt gemiddeld iets minder dan 7 maanden. Daarin is de gecorrigeerde zwarte maan gedurende een periode van gemiddeld iets meer dan twee maanden retrograde.

### De versnelling

Op dezelfde manier als hiervoor beschreven, nl. door de afgeleide naar de tijd te bepalen, kan de versnelling van de beweging van de gecorrigeerde zwarte maan in de zodiak berekend worden. Deze versnelling is dan ook een functie van de hoek tussen de zon en de zwarte maan en dus ook tijdafhankelijk. Door vergelijking (3) nogmaals naar de tijd te differentiëren wordt de vergelijking voor de versnelling verkregen.

$$\begin{aligned}
 a_{cBM}(t) &= \frac{d}{dt} v_{cBM}(t) = \frac{d}{dt} (v_{BM}(t) + F'(\varphi(t)) \times (v_S(t) - v_{BM}(t))) \\
 &= a_{BM}(t) + \frac{d}{d\varphi} F'(\varphi) \times (v_S(t) - v_{BM}(t))^2 + F'(\varphi(t)) \times (a_S(t) - a_{BM}(t)) \\
 &= F''(\varphi) \times (v_S(t) - v_{BM}(t))^2 \qquad (4)
 \end{aligned}$$

In vergelijking (4) is  $F''(\varphi)$  de tweede afgeleide van de correctiehoekfunctie en hebben zon en zwarte maan versnelling nul, aangezien de snelheden van beide constant zijn genomen. Deze vergelijking is in de volgende grafiek weergegeven middels de rode curve. De oranje curve is de versnelling die uit het model van Bode volgt, nl. een negatieve sinusfunctie. De maximale amplitude van de versnelling – en vertraging– bedraagt  $0,0193$  ( $0^\circ 1' 9,4''$ ) graden per dag-kwadraat. Deze geringe versnelling is kleiner dan de nauwkeurigheid van de efemeriden, die dus totaal ongeschikt zijn om de versnelling eruit af te leiden.



Het belang van het beschouwen van de versnelling is gelegen in de tweede wet van Newton, die populair gezegd de kracht die op een lichaam werkt gelijkstelt aan het product van massa en versnelling, bij constante massa. Daarmee is een (van de componenten) van de krachten, geprojecteerd in de zodiac, van het model van Duval en Font in principe bekend.

### Een voorbeeld

Volgens de efemeriden van Duval en Font staan op 11 juli 2021 om 0.00u  $ZM^1$   $29^\circ 9'$  in Stier en  $ZMc$   $11^\circ 4'$  in Tweelingen, een dag later staan  $ZM$   $29^\circ 16'$  in Stier en  $ZMc$   $11^\circ 16'$  in Tweelingen. Volgens het computerprogramma PlanetDance staat de zon op 11 juli 2021 om 0.00u op  $18^\circ 51'$  in Kreeft en een dag later op  $19^\circ 48'$ . De hoek tussen zon en  $ZM$  is  $49^\circ 42'$  op 11 juli en  $50^\circ 32'$  op 12 juli. Bij een hoek van  $50^\circ$  tussen zon en  $ZM$  en een snelheid van  $0^\circ 57'/$ dag van de zon op die dag geven de berekeningen een snelheid van  $12,34$  boogminuten per

1  $ZM$  = zwarte maan,  $ZMc$  = gecorrigeerde zwarte maan.



dag voor ZMc. Uit de efemeriden, die waarden slechts in graden en gehele boogminuten weergeven, leiden we een snelheid van 12 boogminuten af.

De snelheid is afnemend met een berekende vertraging van 35,6 boogseconden per dag-kwadraat op 12 juli. De vertraging neemt toe tot ruim 1 boogminuut per dag-kwadraat op 26 juli. Volgens de efemeriden begint de retrogradegang van ZMc in de loop van 26 juli 2021. De berekeningen geven een richtingsverandering aan bij een hoek tussen zon en ZMc van  $62^{\circ}$ - $63^{\circ}$ , een situatie die volgens het eerdergenoemde computerprogramma tussen 26 en 27 juli plaatsvindt.

### 3. Conclusie

Met de bepaling van de snelheid en versnelling van de gecorrigeerde zwarte maan in de zodiak is een volgende stap gezet in het achterhalen van het astronomische model dat door Duval en Font gebruikt is bij het samenstellen van hun efemeriden.

De grafiek van de versnelling werpt een blik op het onderlinge krachtenspel van zon-aarde-maan met de volgende fasen: een geringe en licht toenemende vertraging van  $0^{\circ}$  –  $30^{\circ}$ , een sterk toenemende vertraging van  $45^{\circ}$  –  $68^{\circ}$ , een bijna 2x sterkere afnemende vertraging van  $68^{\circ}$  –  $90^{\circ}$ , die doorgaat als versnelling van  $90^{\circ}$  –  $112^{\circ}$ , tenslotte de twee eerste fasen in omgekeerde volgorde met afnemende versnelling i.p.v. toenemende vertraging. De nauwkeurige snelheidsfunctie is van belang voor berekeningen bij de progressieve horoscoop.

Het raadsel van het model van Duval en Font is met deze publicatie nog niet opgelost, echter wel een stap dichterbij gebracht.

### Referenties

1. Max Duval & Jean-Marc Font, "Tables du Nœud Lunaire de Lilith et du Soleil Noir", Dervy-Livres, Paris 1988.
2. Cees J.A. Jansen, "Over het Apogeum van de Maan en de Gecorrigeerde Zwarte Maan", 19 april 2021. Zie: NVWOA Nieuwsbrief mei 2021, nr. 5, Jaargang 26, of [www.ceesjansen.nl/downloads/](http://www.ceesjansen.nl/downloads/).
3. George Bode, "Zwarte Maan Zwarte Zon Drakenkop", Stichting Vulcanus, Amsterdam 2001, pag. 239.

# Voortgang onderzoek naar explosies

*Frank Vernooij*

In de Nieuwsbrief van april schreef ik voor het laatst over de voortgang van mijn onderzoek naar explosies. Meer achtergrond is daar te vinden. Toen was het bestand 28 data groot.

Inmiddels is er een bestand van 50 data verdeeld in twee bestanden van achtereenvolgens 25 met een redelijk betrouwbare tot zeer betrouwbare tijd. Daarbij hebben we nu de resultaten voor een deel kunnen toetsen dank zij het bootstrappingprogramma behorend bij Planetdance en een bewerking/uitbreiding daarvan door Hans van Oosterhout zodat waarschijnlijkheidswaarden vastgesteld kunnen worden. Zijn programma bestrijkt helaas niet frequenties van Cheiron en Zwarte Maan en evenmin die van hemellichamen als Eris, Sedna e.a.

De status van dit onderzoek blijft exploratief. Weliswaar is het interessant te zien wat de om en nabij verdubbeling van het aantal data aan resultaten toont, maar 50 data is nog steeds zo weinig dat de kans op toevalsbevindingen groot is.

Het aantal data zal gestaag uitgebreid moeten worden om duidelijker te krijgen of er werkelijk sterke aanwijzingen zijn voor standen die afwijken van wat verwacht kon worden.

Ik bekijk verschillende orbgroottes, m.n. nauwere orbs vanaf .25 graad. Theoretisch zullen bij hele nauwe orbs de scores bij een klein bestand dermate laag zijn dat een toevalstreffer al snel een vertekend beeld geeft. Anderzijds hoe groter de orb hoe minder dat risico maar op een gegeven moment komt alles met elkaar in aspect. Het is zoeken naar het gulden midden. Voor dit verslag heb ik me wat betreft de aspecten grotendeels beperkt tot orbs van 1 en 3 graden.

## **Nog even het uitgangspunt:**

Ik ging uit van twee hypothesen: op het moment van een niet intentionele explosie zijn sommige astrologische standen meer dan te verwachten aanwezig.

Bij die standen is meer dan te verwachten Uranus en in tweede instantie Mars betrokken.

Daarbij verwachtte ik m.n. een effect bij nauwe orbs.

Deze hypothesen staan tegenover de 0-hypothese dat er geen sprake is van een astrologische bijzonderheid op het moment van een explosie.

Tegelijk is het onderzoek ook als hypothesevormend bedoeld.

## Planeten in teken (Zon t/m Pluto, Node, Asc en MC)

### De bevindingen van de eerste 25:

Bij de tekens springt Maagd eruit (grotendeels bepaald door  $6 \times \text{Asc} + 6 \times \text{MC}$ ).

$P = .004$

### N = 50:

Bij de som van planeten in teken scoort geen van de tekens noch naar boven, noch naar onder binnen een Poissonwaarde met een marge van .10.

**Hogere score dan verwacht** (waar ik spreek van hoger of lager dan verwacht is dat gebaseerd op een waarschijnlijkheidswaarde van  $< .10$ . Wat geel gemarkeerd is binnen .05)

**Maan** in Aq, **Venus** in Ge en Le, **Mars** in Ge en Pi, **Jupiter** in Ta, **Ascendant** in Ge, **MC** in Vi en Aq. **Jupiter** in aardetekens. **Mars** in beweeglijke tekens.

### Lagere score dan verwacht

**Zon** in Sc, **Maan** in Ge, **Mercurius** in Sc, **Venus** in Li, Sc en Sa, **Mars** in Li en Ca, **Jupiter** in Ar,

**Ascendant** in Aq

**Mars** in hoofdtekens

## Planeten in huis (Zon t/m Pluto en Node)

**N = 25:** N = 25: het 9e scoorde hoger ( $p = .10$ ) , het 2e huis lager dan verwacht ( $p = .044$ )

**N = 50:** Bij de som van planeten in teken scoort het **3e huis** boven verwachting, **2e huis** met 47 verreweg het laagst, maar haalt de waarschijnlijkheidswaarde van .10 niet.

### Hogere score dan verwacht:

**Zon** in 10 en 11, **Maan** in 11, **Venus** in 1 en 11, **Mars** in 3 en 7, **Jupiter** in 3, 4 en 12, **Saturnus** in 1, **Neptunus** in 3 en 8, **Pluto** in 1 en 8, **Node** in 4

**Zon** in lucht , **Maan** in vaste tekens, **Venus** in vuur, **Mars** in lucht, **Saturnus** in vuur, **Pluto** in vuur .

### Lagere score dan verwacht:

**Zon** in 5, **Maan** in 12, **Venus** in 8, **Mars** in 2, **Jupiter** in 11, **Pluto** in 11 , **Node** in 11

**Zon** in vuur, **Venus** in water

**Venus in watertekens, Mars** in vaste tekens, Pluto in aardetekens, Node in luchttekens.

Het **totaal van factoren in luchttekens**.

**Conclusie:** er zijn nogal wat specifieke planeetstanden in teken, huis, element of kruis die boven of onder verwachting scoren. Dit kan het gevolg zijn van het feit dat heel veel variabelen getoetst worden waarbij door toeval altijd een bepaald percentage van scores uitschiet.

De hoge score van Maagd bij tekens komt niet terug.

## Elementen en Kruizen

**Bij N= 25** bleek steeds de som van de vaste tekens het laagst, in teken, huis zowel als bij de Asendant en MC.

**Bij N = 50 is dit** ook het geval. Bij de vaste tekens is het ondertal naar de beide andere een fractie opgelopen. Bij de vaste huizen is het verschil met hoofdhuisen heel sterk gegroeid, met beweeglijke huizen wat afgenomen. Planeet in hoofdhuisen scoren nu duidelijk het hoogst, bij N = 28 was het in de beweeglijke huizen.

Ook bij **Ascendant en MC** is nog altijd **vaste kruis** het laagst. De verschillen zijn min of meer in stand gebleven, niet vergroot.

De verdeling van scores van Venus in de elementen heeft een waarschijnlijkheid van ongeveer 5 %, van Saturnus in de kruizen ongeveer 10 % (chi-kwadraat getoetst)

## Verdeling frequentie van positieve en negatieve tekens bij huizen (Zon t/m Pluto en Node)

	1	2	3	4	5	6	7	8	9	10	11	12	Tot.
N=25-1	28	15	24	20	19	21	24	27	28	22	21	26	144-131
N=25-2	25	23	36	22	28	23	25	17	17	20	22	17	153-122
N=50	53	38	60	42	47	44	49	44	45	42	43	43	297-253

## Verschillen per groep

groep	totaal	d	p
N=25-1	144-131	13	
N=25-2	153-122	31	.07
N=50	297-253	44	.07

( is getoetst met de chi-kwadraat toets)

## Totalen van aspecten bij de onderscheiden factoren

**Bij N = 25:** er bleek noch bij Uranus, noch bij Mars sprake van een hogere frequentie van aspecten. Wel scoorden aspecten met **de Zon** opvallend hoog, de majeure relatief nog meer, en aspecten met **Jupiter** opvallend laag.

### We vergelijken met N = 50

**aantal aspecten bij orb 1: eerste getal: majeur en mineur. Tweede getal majeur.**

	zon	maan	merc	venus	mars	jupit	sat	uran	nept	pluto	node	cheir	z mn	gp	asc	mc
n=25	64-29	43-16	37-14	41-10	34-16	32-12	49-13	42-16	36-16	40-12	49-21	46-14	42-13	45-23	41-20	45-15
n=50	109-48	85-34	84-30	94-33	92-41	88-28	98-33	83-27	72-35	94-27	94-40	103-35	84-27	102-43	87-38	77-31

**aantal aspecten bij orb 3: eerste getal: majeur en mineur. Tweede getal majeur.**

	zon	maan	merc	venus	mars	jupit	sat	uran	nept	pluto	node	cheir	z mn	gp	asc	mc
n=25	142-59	129-52	116-42	129-44	114-50	125-48	136-46	130-46	129-51	126-46	126-51	121-44	126-48	127-55	128-61	136-59
n=50	255-101	260-104	239-90	255-99	240-104	270-96	260-95	261-89	243-106	267-96	250-98	253-100	249-98	270-109	249-110	247-111

**Conclusie:** Bij een orb van 1 zijn aspecten op de Zon nog altijd hoog (*niet getoetst*).

**Meest frequente aspecten bij verschillende orbs, tussen haakjes majeur**  
**Bij N = 25:** Hier leek voor het eerst steun voor de hypothese dat **Uranus-standen** er toe doen en m.n bij nauwere orbs. Vanaf een orb-grootte van een halve graad (.50) tot een grootte van 3 graden is de frequentie van het aspect **Zon - Uranus** het hoogst, zowel bij majeure én mineure aspecten als bij majeure aspecten. Bij een orb van 1 graad was het 8 (6) en bij een orb van 3 graden 16 (8).

**Bij N = 50**

**aspecten met een hogere frequentie dan verwacht** (  $p < .10$ , geel gemarkeerd  $p < .05$ )

orb 1 majeur en mineur	orb 1 majeur	orb 3 majeur en mineur	orb 3 majeur
zon-saturnus	zon-mars	<b>zon-uranus</b>	maan-mc
<b>zon-uranus</b>	<b>zon-uranus</b>	<b>venus-node</b>	mercurius-mars
mercurius- mars	<b>zon-ascendant</b>	<b>jupiter-node</b>	mars-neptunus
mercurius-pluto	mercurius-jupiter	<b>jupiter-mc</b>	mars-mc
mercurius-node	venus-mars		
venus-pluto	venus-neptunus		
venus node	venus-node		
jupiter-pluto	mars-saturnus		
<b>jupiter-node</b>	<b>mars-neptunus</b>		
node -mc	node-mc		

**Conclusie: de frequentie van Zon-Uranus** is in drie van de vier categorieën boven verwachting resp.  $p = .002$ ,  $p = .005$ ,  $p = .027$  en  $p = .185$

## aspecten met een lagere frequentie dan verwacht

orb 1 majeure en mineur	orb 1 majeure	orb 3 majeure en mineur	orb 3 majeure
maan-neptunus maan-node mercurius-neptunus venus-mc mars-uranus		mercurius-pluto mars-uranus	mercurius-pluto

**Conclusie:** opmerkelijk dat de verbinding van Uranus met juist Mars zo'n lage frequentie heeft.

## Frequentie van aspecten van de Zon met de verschillende planeten

**verschillen tussen N=25 en N= 50** (eerste cijfer maj+min, tweede cijfer: majeure)

Orb 1	maan	merc	venus	mars	jupit	sat	uran	nept	pluto	node	cheir	z mn	gp	asc	mc
n=25	4-2	1-1	5-0	6-4	3-1	6-2	6-5	2-1	3-1	3-1	3-1	3-1	7-4	5-3	7-2
n=50	6-3	1-1	11-1	8-4	7-1	9-2	10-6	4-3	6-2	6-3	5-3	6-2	14-8	8-6	8-3

Orb 3	maan	merc	venus	mars	jupit	sat	uran	nept	pluto	node	cheir	z mn	gp	asc	mc
n=25	9-5	1-1	8-0	9-6	10-6	11-3	15-7	10-4	9-3	7-3	7-2	9-3	13-6	11-5	13-5
N=50	17-3	3-2	16-2	16-7	20-8	21-5	24-8	16-7	13-5	14-7	15-7	14-5	24-11	21-10	21-9

**N=50:** Frequentie van aspecten van de Zon met de verschillende planeten bij nauwere orbs

**.050 en 0.75** (eerste cijfer maj+min, tweede cijfer: majeure)

	maan	merc	venus	mars	jupit	sat	uran	nept	pluto	node	cheir	z mn	gp	asc	mc
orb .50	2-0	0-0	5-0	6-3	5-0	6-1	5-3	1-1	3-1	3-2	0-0	4-1	8-6	6-4	4-2
orb .75	4-1	1-1	8-1	8-4	6-0	7-2	8-4	2-2	4-2	5-3	1-1	5-2	11-7	7-5	5-2

**Merkwaardig fenomeen:** niet voor het eerst scoort **het Gelukspunt** erg hoog, terwijl dat het minst betrouwbaar gemeten kan worden. Naast Gelukspunt en Ascendant scoren Zon-Uranus en Zon-Mars hoog, m.n. bij de nauwere orbs.

**Het totaal van aspecten op Zon, Maan, Ascendant én MC N=50 (majeur +mineur / majeure)**

orb 1	me	ve	ma	ju	sa	ur	ne	pl	no	ch	zm
zon	1-1	11-1	8-4	7-1	9-2	10-6	4-3	6-2	6-3	5-3	6-2
maan	6-3	7-3	5-1	8-3	5-2	4-0	2-1	4-3	2-2	10-2	6-4
asc	5-2	3-1	7-2	6-2	6-2	6-3	3-0	4-3	4-1	7-4	8-4
mc	3-1	2-2	5-3	6-1	7-3	4-2	5-1	4-2	9-4	6-1	3-1
tot.	15-7	23-7	25-10	27-7	27-9	24-11	14-6	18-10	21-10	28-10	23-11

**Het totaal van aspecten op aspecten op Zon, Ascendant én MC (zonder de Maan) N =50 (majeur +mineur / majeure)**

orb 1	me	ve	ma	ju	sa	ur	ne	pl	no	ch	zm
tot.	9-4	16-4	20-9	19-4	22-7	20-11	12-5	14-7	19-8	18-8	17-7



## Aspecten met Makemake, Haumea, Eris, Sedna, en de gec. Zwarte Maan

**N = 50 orb 1** (majeur + mineur / majeure)

	zn	mn	me	ve	ma	ju	sa	ur	ne	pl	no	ch	zm	gp	asc	mc
MM	4-3	5-4	8-5	7-5	7-1	7-2	5-5	2-0	4-2	3-1	6-4	5-2	5-3	5-1	3-2	3-2
H	6-2	5-1	9-5	3-1	6-2	6-1	5-0	10-4	7-3	8-1	5-3	4-2	3-1	5-3	5-2	3-1
E	6-3	9-5	7-3	6-3	12-2	6-2	8-3	5-2	10-4	3-2	4-3	4-1	3-2	8-5	2-0	5-2
S	4-1	8-1	7-4	9-2	5-1	4-3	6-2	5-1	2-2	4-2	9-3	6-0	4-2	10-3 3	5-2	11-4
g ZM	7-3	6-4	8-3	0-0	6-3	5-2	5-1	3-2	3-1	1-1	5-4	7-2	1-1	5-2	6-2	??

**N = 50 orb 3** (majeur + mineur / majeure)

	zn	mn	me	ve	ma	ju	sa	ur	ne	pl	no	ch	zm	gp	asc	mc
MM	13-5	19-10	15-7	19-9	26-7	16-6	15-11	14-5	11-3	13-5	18-8	17-10	21-11	12-4	18-5	12-8
H	18-8	16-6	16-7	17-8	18-7	16-6	14-5	18-9	16-6	22-7	20-11	15-5	15-6	20-9	17-6	12-5
E	21-13	16-8	12-6	17-10	26-9	15-4	19-8	13-8	23-8	12-9	17-7	15-5	15-6	22-10	15-5	14-4
S	18-8	17-5	18-9	19-4	13-4	15-8	15-7	22-5	12-7	16-5	23-8	20-3	13-5	21-8	16-7	20-8
g ZM	23-10	19-10	18-6	14-4	18-5	19-7	18-8	12-2	12-5	10-3	12-5	15-7	7-7	19-5	17-7	??

Er zijn wel wat opmerkelijke frequenties maar omdat er vooralsnog geen toetsing mogelijk is kunnen we deze uitkomsten slechts vaststellen en voor kennisgeving aannemen.

# Astronomische artefacten

*Jan Kampherbeek*

Ooit las ik een argument waarom Oostenrijk onder Weegschaal valt. Een astroloog was opgevallen dat onder zijn (in dit geval Weense) klanten het teken Weegschaal opvallend vaak op de ascendant stond. Wat deze astroloog zich niet realiseerde was dat in Amsterdam nog meer mensen een Weegschaal ascendant hebben. Een aantal dat in Reykjavik zelfs nog hoger ligt.

De oorzaak is niet astrologisch van aard maar astronomisch. Op het noordelijk halfrond rijst het teken Weegschaal gedurende langere tijd dan de 2 uur die een teken gemiddeld rijst. Hoe meer je naar het noorden gaat, hoe sterker dit effect wordt. Het gaat hier om een astronomisch artefact.

Het is duidelijk dat de argumenten van genoemde astroloog onjuist waren. Dat wil niet zeggen dat Oostenrijk niet onder Weegschaal valt. Het zegt wel dat de gebruikte argumentatie ondeugdelijk is.

## Twee soorten artefacten

We hebben al gezien dat er bij astrologische onderzoek twee soorten artefacten zijn: demografische en astronomische. De demografische artefacten heb ik besproken in de Nieuwsbrief van juni. We kijken nu naar de astronomische artefacten. In de volgende Nieuwsbrief behandel ik een oplossing die de effecten van deze artefacten kan neutraliseren: het werken met controle groepen.

De meeste astrologen weten wel dat er kort rijzende en lang rijzende tekens zijn. Maar er zijn veel meer van dergelijke astronomische artefacten. Door het samenspel van de bewegingen van de aarde en andere planeten rond de Zon ontstaat een ongelijke verdeling over de tijd dat planeten in bepaalde tekens staan of bepaalde aspecten vormen. Een effect dat nog veel groter wordt omdat we horoscopen bijna altijd geocentrisch bekijken. Het standpunt van de waarnemer, in dit geval op de aarde, maakt deel uit van de cyclische beweging rond de Zon. Dat levert een zeer onregelmatige beweging van de planeten op.

Geoffrey Dean beschrijft [1] de verdeling van aspecten gedurende een periode van 32 jaar. Enkele voorbeelden:

- Zon en Mars. De kans op een half-sextiel is 9,2 %, de kans op een oppositie is 1,0 %.

- Mars en Jupiter. De kans op een vierkant is 5,9 %, de kans op een conjunctie is 2,5 %.

Dat zijn enorme verschillen. De gevolgen voor een onderzoek kunnen desastreus zijn. Als je hier geen rekening mee houdt kun je gemakkelijk tot de conclusie komen dat in je populatie de kans op een oppositie Zon/Mars heel klein is en kans op een half-sextiel heel groot. Een factor 9 verschil is al snel significant. Maar in werkelijkheid heb je niet een echt effect gevonden: deze verhouding geldt immers voor elke populatie in dezelfde periode.

## Corrigeren is lastig

Deze astronomische artefacten kun je niet eenvoudig corrigeren. Nemen we als voorbeeld de ongelijke kans dat een teken op de ascendant staat. Voor een bepaalde breedtegraad kun je het effect uitrekenen. Maar als je een aantal horoscopen onderzoekt zal het om verschillende breedtegraden gaan. Je zult ook zien dat bepaalde breedtegraden vaker voorkomen in je populatie dan andere breedtegraden. Eigenlijk zou je per horoscoop een wegingsfactor moeten toekennen om dit te corrigeren. En dan zit je nog met de andere artefacten. Je zou per planeet de kans op de stand in teken, de kans op een aspect of wat je ook maar wilt onderzoeken moeten bepalen. Waarbij je rekening moet houden met de spreiding in tijd binnen je populatie.

In 1986 kwam Mark Pottenger met een deeloplossing. Hij ontwikkelde het programma *FAR* (**F**requency of **A**spects **R**esearch) waarmee hij de frequentie van aspecten over een lange periode berekende. De resultaten publiceerde hij in tabelvorm [2]. Die publicatie is inmiddels vrijwel onvindbaar maar Pottenger publiceerde later een uitgebreide samenvatting [3]. Het voordeel van deze benadering is dat je een goed inzicht krijgt in de grote verschillen die er zijn. Maar deze methode is onvoldoende geschikt om de effecten van anomalieën bij aspecten te corrigeren. De belangrijkste reden is dat een onderzoekspopulatie vrijwel nooit regelmatig is verdeeld over een tijdvak. De kans is groot dat de meeste gevallen ergens in het midden zitten terwijl aan het begin en einde van de periode het aantal gevallen terugloopt. Je hanteert echter een kans op een aspect die wel voor de hele periode gelijk is. Ter illustratie een fictief voorbeeld:

We onderzoeken 1000 horoscopen met geboortetijden in een periode van 50 jaar. Omdat onze populatie niet regelmatig is verdeeld kan de verdeling er zo uitzien:

- 1-10 jaar: 70 horoscopen
- 11-20 jaar: 210 horoscopen
- 21-30 jaar: 400 horoscopen

31-40 jaar: 240 horoscopen

41-50 jaar: 80 horoscopen

Als we de aspect-frequentie voor de hele periode van 50 jaar berekenen hebben we voor elk jaar een gelijke waarde, maar de frequenties voor de middelste jaren zouden - in dit geval - zwaarder moeten wegen dan de frequenties voor de eerste en laatste jaren.

Je zult moeten wegen. Het zou al een verbetering zijn als je de frequenties per jaar uitrekent en die alleen vergelijkt met de aspecten voor de populatie uit dat jaar.

Hoe dan ook: je moet je goed realiseren wat je doet als je de methode van Pottenger gebruikt.

Pottenger heeft dit alleen uitgewerkt voor aspecten maar in principe kun je dat voor meerdere horoscoopfactoren doen. Maar er is een beter alternatief.

## Controlegroepen

Een betere oplossing is het werken met controlegroepen. Je moet dan veel aandacht besteden aan het samenstellen of genereren van zo'n controlegroep. Maar je hoeft niet meer de problemen die ik hiervoor schetste op te lossen.

Over controlegroepen meer in de volgende Nieuwsbrief.

## Referenties

1. **Dean, Geoffrey** – *Recent advances in natal astrology*, 1977. p. 290
2. **Pottenger, Mark** en **Scott Vail** – *Tables for Aspect Research*, 1986.
3. **Pottenger, Mark** – *Astronomical Frequencies*, In *Astrological Research Methods*. Volume 1, An ISAR Anthology, 1995.

# Uit de ASAScoop 2 / 2020

Frank Vernooij

Een bespreking van **Melanie Reinhart Cheiron, de weg naar heelheid.**

Een herziene versie van een eerder uitgekomen boek, in het licht van de ontdekking van asteroïden, plutoïden, Centauren, objecten in de Kuiper gordel en de symboliek daarvan – , vanwege ideeën over Cheiron die in de astrologische wereld meer vorm hebben gekregen en maatschappelijke ontwikkelingen op het gebied van onze kijk op gezondheid en de rol van technologie. Cheiron, in 1977 ontdekt, verbindt ze symbolisch aan het voortdurende proces van (zelf)heling. Cheiron gepersonifieerd wil ons vanuit een wijs en liefhebberend bewustzijn onze onderlinge verbondenheid met de hele schepping tonen, de basis van genezing, van het *heel maken* en werpt licht op de ervaringen die ons spiritueel doen ontwaken. We worden aangemoedigd onze donkere kant onder ogen te zien evenals het lijden in onszelf en anderen en toont ons wat we moeten loslaten om verbinding met ons ware zelf te krijgen.

Cheirons plaatsing tussen Saturnus en Uranus maakt dat hij fungeert als een poort of toegangsweg, een overgang tussen de zichtbare en onzichtbare werelden. Als we geconfronteerd worden met zware verliezen, falen of lijden leveren



transits van Cheiron en de Centauren vaak de aanknopingspunten op die ons helpen de weg in onszelf weer te vinden.

Een tijd van genezing wordt vaak geïnitieerd door Cheiron-transits, en periode van onder ogen zien 'hoe de dingen zijn', aandacht te schenken aan 'wat is' en alles op z'n beloop laten.

In deel I van dit boek worden alle nieuwe astronomische feiten met betrekking tot Cheiron beschreven. Ze nodigt uit om deze informatie met 'dichterlijke' ogen en oren tot je te nemen en de hemelse symbolen intuïtief op je te laten inwerken. We mogen aannemen dat we in een betekenisvol universum leven en *wachten tot het universum tegen ons spreekt*.

Deel II gaat in op de mythologie, archetypische beelden en verhalen die verbonden zijn aan Cheiron en de Centauren.

In deel III beschrijft Reinhart aan de hand van observaties hoe Cheiron zich manifesteert in de levens van bepaalde personen en waarschuwt dit niet als een soort 'receptenboek' te gebruiken.

Ze stelt: Cheiron bestrijkt een gebied waar alles ten dienste staat van ons persoonlijke ontwaken. We hebben daar niet meer het filter van spirituele of psychologische dogma's nodig. In plaats daarvan waarderen we onze ervaring zoals die zich voordoet en leren we steeds meer om op de innerlijke leraar of gids te leren vertrouwen.

Deel IV is getiteld: 'Geest van een tijdperk' en gaat in op de thema's rondom Cheiron zoals ze zich heden ten dage binnen het collectieve historische proces aan ons voordoen. Ze schrijft: 'Als we daadwerkelijk een wereld willen realiseren waar dualisme is uitgebannen, betekent dat dat er geen verschil meer is tussen mijn lijden en dat van de wereld om me heen.'

Tot slot duidt ze het verhaal van Natascha Kampusch, haar ontvoering en de ontsnapping uit haar gevangenschap. Daarvoor heeft ze 'een stuk of wat centauren aan de Cheiron-configuratie toegevoegd, omdat een aanzienlijk aantal onderlinge aspecten tussen de centauren zelf een rol spelen, naast die met de gewone planeten. De precisie van deze aspecten is typerend voor wat je aantreft als je je verdiept in de hemelpatronen die horen bij uitzonderlijk dramatische of bizarre gebeurtenissen... In deze tragische geschiedenis vinden we bijna letterlijk het verhaal terug van Persephone en Hades.

Zij schrijft: De precisie van deze aspecten is typerend voor wat je aantreft als je je verdiept in de hemelpatronen die horen bij uitzonderlijk dramatische of bizarre gebeurtenissen... In deze tragische geschiedenis vinden we bijna letterlijk het verhaal terug van Persephone en Hades.



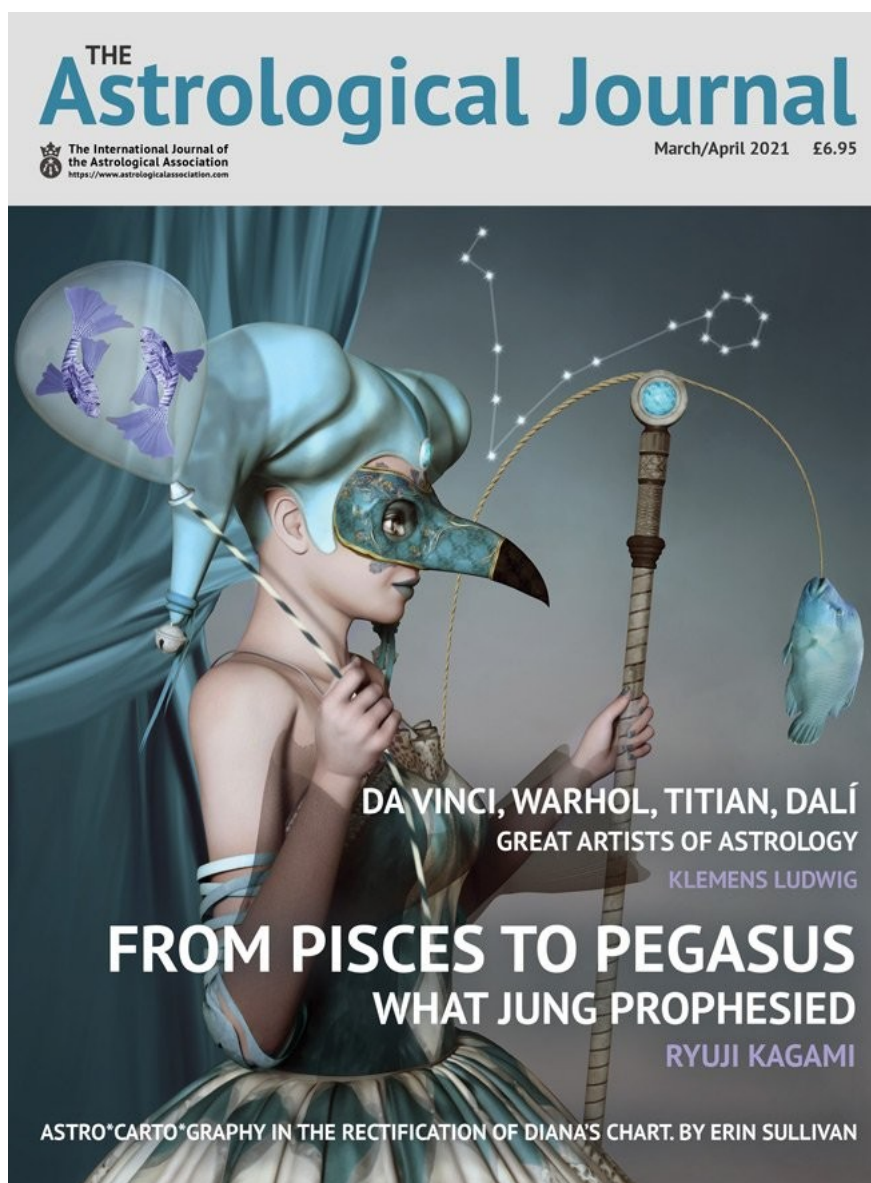
# Uit the Astrological Journal March/April 2021 Volume 63 No.2

Frank Vernooij

## Philip M. Graves: 'Why I decided to start an astrology li- brary'

The author stores the Astrological Association's archive of foreign-language books and periodicals at his amazing astrology library (probably one of the largest in the Western World) in South Wales. It also contains his private collection of 8,000 edition-volumes of books and 12,000 unique issues of periodicals. And it continues to grow. Here, he reveals how this project began and his inspiration included a possibly prophetic dream with the late bestselling astrologer Linda Goodman... November 1995 I had a **vivid dream** in which I visited an astrological research centre supposedly run by Ms. Goodman and came

face to face with her for a consultation, then was pointed by an assistant of hers to a bookshop on the site that contained a great wealth of additional books on astrology. I found out only years later that in real life, she had passed away just the previous month, so barring the possibility of an encounter with her spirit



energy, it seems reasonable to surmise that her appearance in the dream was purely symbolic. But in other respects, the dream was to prove remarkably prophetic of my future path.

Philip Graves is a multilingual astrological librarian, writer, historian, and occasional lecturer. Graves wrote numerous instructive articles on **the elements of astrology** and a substantial body of original **essays on the history of modern astrology**.

### **Klemens Ludwig Astrology in Art: cosmic harmony and aesthetics**

Astrological symbolism has inspired many great artists. In this panoramic survey, the President of the German Astrologers' Association takes us on a journey **from prehistoric cave art to the 21th century** via Titian, da Vinci, Dali, Warhol, Hilma af Klint, Hundertwasser and many more.

### **Karen Christino Evangeline Adams: astrologer to the stars**

In this extract from the author's book 'Foreseeing the Future: Evangeline Adams and Astrology in America' celebrity clients of the astrologer (including Hollywood star Tallulah Bankhead and the playwright Eugene O'Neill) recorded their experiences of **her uncanny divinatory powers** ...The best record we have of an Evangeline Adams reading comes from the educator and **mythologist Joseph Campbell**. On Tuesday, 10 November 1925, at the age of 21, Campbell visited Adams and immediately wrote about his experience in his journal. This rules out the kind of creative remembering that may have contributed to others.

### **Oscar Hofman Fixed Stars Killing Orion: the election of Joe Biden**

Hij eindigt met : 'However, with the Ascendant moving towards the nasty South Node, the place of sacrifice, it seems his luck will be running out later this year. (2021)'

### **Een in memoriam van de Canadese astroloog Chris McRae**

Voor geïnteresseerden in **astrocartografie**:

### **Erin Sullivan Astro\*Carto\*Graphy in the rectification of Diana's chart**



en voor die in het verband tussen **astrologie en mode** opnieuw een artikel in een serie:

### **Christina Rodenbeck Report from Planet Fashion**

#### **Sue Ward There is no new thing under the sun**

**Lilly's approach is applied to four famous voyages** that ended in disaster. Technology travel is so original, it is said, that it requires a new planet to symbolise it. Most often **Uranus** is quoted in this regard and is particularly associated with space and air travel. Is travel then, in its essence, any different now when compared to that of previous ages? Our modes of travel may have changed, but the potential delays and risks have not. The essential difference in modern travel is the energy used to propel the vehicle. However, this does not change the essential nature of travel, **the astrological rulers** of which being the **Moon and Mercury** (not Jupiter). To demonstrate this idea astrologically, the principles of the Western predictive tradition will be applied to a chart of the 17th century and to three charts of the 20th century, all pertaining to travel. The astrological principles are extracted from 'Christian Astrology' by William Lilly.

#### **De 4 catastrofale reizen:**

Plymouth 4 February 1665 'The Antelope's departure from Plymouth to Tangier JC (4 February 1666 JC) met commentaar van Lilly aan de hand van een ouderwets getekende vierkante kaart..

Tokio 12 augustus 1985 18.04 JST Asc 10.58 Aq vertrek Air Japan Flight 8119, following mechanical failure, crashed into a mountain killing 520 of its complement of 524.

Londen 21 december 1988 18.25 GMT Asc 1.22 Le vertrek Pan Am Flight 103 crashed over the small town of Lockerbie in Scotland after a bomb it was carrying exploded. All 259 with 11 Lockerbie residents, killed by falling debris.

Cape Canaveral 28 januari 1986 11.38 EST Asc 6.25 Ta Lift-off van the mission of the Space Shuttle Challenger 51-L lasted just 73 seconds when it disintegrated because of mechanical failure. Its entire crew of seven were killed.

### **Ryuji Kagami Jung's Prophecy From Pisces to Pegasus**

Carl Jung's study of precession of the equinoxes and the Age of Pisces is well known. But his astrological imagination went far beyond the zodiac. He also used fixed star constellations including Perseus and Pegasus. What is the future of humanity's spirit that Jung saw in the heavens?

Jung...correlated the precession of the equinoxes with the historical development of Western thought. ..By accepting Gerhard's calculation,Jung speculates that Christ was born on 29 May 7 BC'

## **Boeken**

**Clare Martin Alchemy: The Soul of Astrology** over de verbanden tussen alchemie en astrologie

**Zane Stein Chiron – Healer and Wholemaker** Chiron is Zane Stein's life work. This new book compiles information from his neverending research. He begins with the psychology of how a wound is created, how a fear response is conditioned and stored in emotional memory. He tells us that Chiron shows us where the wound is, where the break occurred and what one must do to be able to heal. Chiron in the sign, houses, and aspects, this time including minor aspects, Chiron's transits and progressions, the nodes of Chiron, how to use Chiron in horary and in assessing relationships are also explored.

# Gratis downloaden: Astrology in education: an ethnography door Alison Gwendy Bird

ASTROLOGY IN EDUCATION: AN ETHNOGRAPHY

ALISON GWENDY BIRD

DPhil

UNIVERSITY OF SUSSEX

September 2006

Dit proefschrift van Alison Bird verscheen in 2006. De schrijfster deed uitgebreid onderzoek naar opleidingen binnen de astrologie maar nam ook meer algemene aspecten van de astrologie mee. Zo kwam ze met goede argumenten voor een verklaringsmodel voor astrologie op basis van divinatie.

Bird kijkt vooral naar de situatie in Groot-Britannië maar haar conclusies zijn breder toepasbaar. Het boek geeft een uitgebreide sociologische beschrijving van het fenomeen astrologie.

Je kunt dit boek downloaden via [http://www.astrozero.co.uk/articles/alie\\_bird\\_thesis.pdf](http://www.astrozero.co.uk/articles/alie_bird_thesis.pdf)

# Colofon

De Nieuwsbrief is een uitgave van de Nederlandse Vereniging tot Wetenschappelijk Onderzoek naar de Astrologie [www.nvwoa.nl](http://www.nvwoa.nl).

Ze richt zich op beschouwingen en ontwikkelingen op het gebied van onderzoek naar de astrologie en tevens op het informeren over ontwikkelingen in het astrologische veld.

## **Voorzitter:**

Frank Vernooij e-mail: [bestuur@nvwoa.nl](mailto:bestuur@nvwoa.nl)

## **Secretariaat:**

Vivian Muller e-mail: [bestuur@nvwoa.nl](mailto:bestuur@nvwoa.nl)

## **Redactie en vormgeving Nieuwsbrief**

Jan Kampherbeek

Frank Vernooij

e-mail: [redactie@nvwoa.nl](mailto:redactie@nvwoa.nl)

De Nieuwsbrief verschijnt maandelijks. Deadline voor het aanbieden van stukken is de zaterdag twee weken voor een geplande bijeenkomst. In de maanden mei, juni en juli de voorlaatste zaterdag van de maand.

De redactie behoudt zich het recht voor ingezonden artikelen te weigeren dan wel te redigeren of in te korten. De redactie is niet verantwoordelijk voor de juistheid van gegevens in de artikelen van de schrijvers en de in de artikelen vermelde meningen vertegenwoordigen niet de mening van de NVWOA.

Alles uit deze uitgave mag op enigerlei wijze worden gereproduceerd, overgenomen of gebruikt zonder voorafgaande schriftelijke toestemming, mits met bronvermelding.